

# УЧЕТ ОТКЛОНЕНИЯ ОТ ПОДОБИЯ ДЕВИАТОРОВ ПРИ ОПРЕДЕЛЕНИИ РАБОТЫ ПЛАСТИЧЕСКОЙ ДЕФОРМАЦИИ

К. Касап

Кафедра Технической Механики Будапештского Технического Университета

(Поступило 27-го мая 1970 г.)

Представлено проф. д-р Д. Козманн

## Расчет удельной работы пластической деформации

В теориях пластичности принято такое предположение, что девиатор напряжения и приращение девиатора деформации подобны [1], другими словами вектор напряжения и приращение вектора девиатора деформации коллинеарны. В настоящей работе это предположение не принимается, а по экспериментальным данным определяется вектор девиатора напряжения и приращение вектора девиатора деформации. На основании этих расчетов рассматривается, что вышеописанное предположение какое отклонение дает во величине удельной работы пластической деформации.

В настоящей работе представляются результаты экспериментов, на основании которых открывается возможность расчета и исследования удельной работы пластической деформации.

В расчетах работы пластической деформации используется пятимерное, ортогональное пространство девиаторов напряжения и деформации [2].

Приращение работы пластической деформации ( $\delta W^p$ ) при маленькой, но конечной деформации [3]:

$$\delta W^p = \bar{S} \cdot \bar{\delta e}^p, \quad (1)$$

где

$\bar{S}$  — вектор девиатора напряжения,  
 $\bar{\delta e}^p$  — приращение вектора девиатора пластической деформации.

Вектор девиатора напряжения:

$$\bar{S} = \sum_{k=1}^5 S_k \cdot \bar{p}_k, \quad (2)$$

где

$\bar{p}_k$  ( $k = 1, 2, \dots, 5$ ) — единичные векторы пятимерного пространства девиаторов,

$S_k$  ( $k = 1, 2, \dots, 5$ ) — координаты вектора  $\bar{S}$ , то есть

$$\begin{aligned} S_1 &= \sqrt{\frac{3}{2}} \sigma'_{11}, \quad S_2 = \frac{\sqrt{2}}{2} (\sigma'_{22} - \sigma'_{33}), \\ S_3 &= \sqrt{2} \sigma'_{12}, \quad S_4 = \sqrt{2} \sigma'_{23}, \quad S_5 = \sqrt{2} \sigma'_{31}; \end{aligned} \quad (3)$$

$\sigma'_{mn}$  ( $m, n = 1, 2, 3$ ) — координаты девиатора напряжения, относящегося к вектору  $\bar{S}$ .

Приращение вектора девиатора пластической деформации:

$$\bar{\delta e}^p = \sum_{k=1}^5 \delta e_k^p \cdot \bar{p}_k, \quad (4)$$

где

$\delta e_k^p$  ( $k = 1, 2, \dots, 5$ ) — координаты вектора  $\bar{\delta e}^p$ , то есть

$$\begin{aligned} \delta e_1^p &= \sqrt{\frac{3}{2}} \delta e_{11}^p, & \delta e_2^p &= \frac{\sqrt{2}}{2} (\delta e_{22}^p - \delta e_{33}^p), \\ \delta e_3^p &= \sqrt{2} \delta e_{12}^p, & \delta e_4^p &= \sqrt{2} \delta e_{23}^p, & \delta e_5^p &= \sqrt{2} \delta e_{31}^p. \end{aligned} \quad (5)$$

В выражениях (5)  $\delta e_{mn}^p$  ( $m, n = 1, 2, 3$ ) есть координаты приращения девиатора пластической деформации, относящиеся к вектору  $\bar{\delta e}^p$ .

Выражение (1), написанное абсолютными значениями векторов и углами между ними:

$$\delta W^p = S \cdot \delta e^p \cdot \cos \omega, \quad (6)$$

где

$$\begin{aligned} S &= |\bar{S}|; & \delta e^p &= |\bar{\delta e}^p|; \\ \omega &— \text{угол между } \bar{S} \text{ и } \bar{\delta e}^p. \end{aligned}$$

Выражая через координаты векторов можно написать

$$\cos \omega = \frac{\sum_{k=1}^5 S_k \cdot \delta e_k^p}{S \cdot \delta e^p}. \quad (7)$$

Вместо абсолютных значений векторов девиатора напряжения и девиатора деформации в литературе обычно применяются пропорционально им интенсивность напряжения ( $\sigma_i$ ), и интенсивность деформации ( $\varepsilon_i$ ). Абсолютные значения векторов  $\bar{S}$  и  $\bar{\delta e}^p$  через соответствующие интенсивности выражаются следующим образом:

$$S = \sqrt{\frac{2}{3}} \sigma_i; \quad \delta e^p = \sqrt{\frac{3}{2}} \delta^* \varepsilon_i^p, \quad (8)$$

где в выражении  $\delta^* \varepsilon_i^p$  звездочка означает, что интенсивность деформации образуется из координат приращения тензора деформации. Этими обозначениями:

$$\delta W^p = \sigma_i \cdot \delta^* \varepsilon_i^p \cdot \cos \omega. \quad (9)$$

В дальнейшем предполагаем, что в процессе пластической деформации изменение объема равняется нулю, и главные оси тензора напряжения совпадают с главными осями приращения тензора деформации. Тогда координаты векторов  $\bar{S}$  и  $\bar{\delta e}^p$  выражаются через главные напряжения и главные значения приращения тензора деформации по (3):

$$S_1 = \sqrt{\frac{3}{2}} \frac{2\sigma_1 - \sigma_2 - \sigma_3}{3}, \quad S_2 = \frac{\sqrt{2}}{2} (\sigma_2 - \sigma_3),$$

$$S_3 = S_4 = S_5 = 0; \quad (10)$$

$$\delta e_1^p = \sqrt{\frac{3}{2}} \delta \varepsilon_1^p, \quad \delta e_2^p = \frac{\sqrt{2}}{2} (\delta \varepsilon_1^p + 2\delta \varepsilon_2^p),$$

$$\delta e_3^p = \delta e_4^p = \delta e_5^p = 0. \quad (11)$$

В выражениях (11) по нашим предположениям учитывалось, что

$$\delta \varepsilon_1^p + \delta \varepsilon_2^p + \delta \varepsilon_3^p = 0.$$

Учитывая формулы (10), (11) выражение (7) можно представить в виде:

$$\cos \omega = \frac{\sigma_1 \cdot \delta \varepsilon_1^p + \sigma_2 \cdot \delta \varepsilon_2^p + \sigma_3 \cdot \delta \varepsilon_3^p}{\sigma_i \cdot \delta \varepsilon_i^p}. \quad (12)$$

### Зависимость между углом $\omega$ и параметрами Надаи-Люде

Отклонение от подобия девиаторов принято характеризовать и параметрами Надаи-Люде  $\mu$ ,  $\nu$ , где

$$\mu = \frac{2\sigma_2 - \sigma_1 - \sigma_3}{\sigma_1 - \sigma_3}; \quad \nu = \frac{2\varepsilon_2 - \varepsilon_1 - \varepsilon_3}{\varepsilon_1 - \varepsilon_3}. \quad (13)$$

Пользуясь формулами (10), (11) в пятимерном пространстве, составляющие векторов только по направлениям  $\bar{p}_1$  и  $\bar{p}_2$  будут различаться от нуля. Пусть нарисуем к представлению зависимости  $\mu$ ,  $\nu$ ,  $\omega$  в плоскости единичных векторов  $\bar{p}_1$ ,  $\bar{p}_2$  любую криволинейную траекторию деформации. К любой точке этой кривой нанесем приращение вектора деформации и вектора напряжения (рис. 1). Для определения искомой зависимости возьмем пару осей  $(u, v)$ , которые направлениями  $\bar{p}_1$  и  $\bar{p}_2$  заключают угол  $30^\circ$ . Из рис. 1. непосредственно видны следующие зависимости:

$$\omega = \alpha_s - \alpha_{\delta e}, \quad (14)$$

$$\operatorname{tg} \alpha_s = \frac{S_v}{S_u} = \frac{S_2 \cdot \cos 30^\circ - S_1 \cdot \sin 30^\circ}{S_2 \cdot \sin 30^\circ + S_1 \cdot \cos 30^\circ}. \quad (15)$$

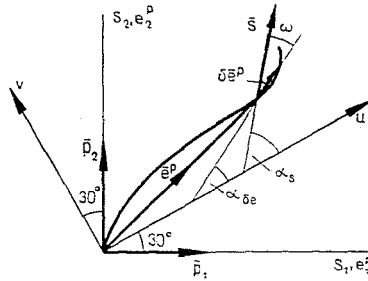


Рис. 1. Зависимость между углом подобия  $\omega$  и параметрами Надаи-Лодэ

В формулу (15) вместо  $S_1$ ,  $S_2$  подставив выражения (10) получим:

$$\operatorname{tg} \alpha_s = \frac{1}{\sqrt{3}} \frac{2\sigma_2 - \sigma_1 - \sigma_3}{\sigma_1 - \sigma_3} = \frac{1}{\sqrt{3}} \mu. \quad (16)$$

Подобно этому получим, что

$$\operatorname{tg} \alpha_{\delta\epsilon} = \frac{1}{\sqrt{3}} \frac{2\delta\epsilon_2^p - \delta\epsilon_1^p - \delta\epsilon_3^p}{\delta\epsilon_1^p - \delta\epsilon_3^p} = \frac{1}{\sqrt{3}} \nu_{\delta}^p. \quad (17)$$

В обозначении  $\nu_{\delta}^p$ , индекс  $\delta$  означает то, что  $\nu_{\delta}^p$  надо вычислять из главных значений приращения тензора деформации.

Угол  $\omega$  по формуле (14) с учетом (16), (17):

$$\omega = \arctg \frac{1}{\sqrt{3}} \mu - \arctg \frac{1}{\sqrt{3}} \nu_{\delta}^p. \quad (18)$$

Из (18) видно, что если

$$\mu = \nu_{\delta}^p, \text{ то } \omega = 0, \quad (19)$$

то есть девиатор напряжения и приращение девиатора деформации подобны.

### Случай двухосного напряженного состояния

При исследовании деформации тонкостенных труб вводятся следующие обозначения:

- $\sigma_a$  — осевое напряжение,
- $\sigma_t$  — тангенциальное напряжение,
- $\sigma_r$  — радиальное напряжение,
- $\delta\epsilon_a^p$  — приращение осевого пластического удлинения,
- $\delta\epsilon_t^p$  — приращение тангенциального пластического удлинения,
- $\delta\epsilon_r^p$  — приращение радиального пластического удлинения.

В случае тонкостенных трубок, нагруженных растягивающей силой и внутренним гидравлическим давлением,  $\sigma_r$  пренебрежимо мало по отношению к  $\sigma_a$  и  $\sigma_t$ , то есть напряженное состояние с хорошим приближением является двухосным [4].

Если  $\sigma_r = \sigma_3 \cong 0$ , то из (12) получим:

$$\cos \alpha = \frac{\sigma_i \cdot \delta \varepsilon_1^p + \sigma_2 \cdot \delta \varepsilon_2^p}{\sigma_i \cdot \delta \varepsilon_i^p}, \quad (20)$$

где

$$\sigma_i = \sqrt{\sigma_a^2 + \sigma_t^2 - \sigma_a \cdot \sigma_t}, \quad (21)$$

$$\delta^* \varepsilon_i^p = \frac{2}{\sqrt{3}} \sqrt{\delta \varepsilon_a^p + \delta \varepsilon_t^p + \delta \varepsilon_a^p \cdot \delta \varepsilon_t^p}. \quad (22)$$

В дальнейшем вычисляется  $\cos \omega$  для нескольких случаев, относящихся к характерным значениям отношения  $\sigma_i/\sigma_a$ .

а)  $\sigma_t/\sigma_a = 0$ , то есть случай одноосного растяжения; ( $\mu = -1$ ).

При этом

$$\begin{aligned} \sigma_1 &= \sigma_a, & \sigma_2 &= 0; \\ \delta \varepsilon_1^p &= \delta \varepsilon_a^p, & \delta \varepsilon_2^p &= \delta \varepsilon_t^p = 0,5 \delta \varepsilon_a^p, \\ \sigma_i &= \sigma_a, & \delta^* \varepsilon_i^p &= \delta \varepsilon_a^p. \end{aligned}$$

Этими значениями из формулы (20) получим, что

$$\cos \omega = \frac{\sigma_a \cdot \delta \varepsilon_a^p}{\sigma_a \cdot \delta \varepsilon_a^p} = 1. \quad (23)$$

б)  $\sigma_t/\sigma_a = 0,5$ , в этом случае диаметр трубки остается постоянным [4]; ( $\mu = 0$ ).

При этом

$$\begin{aligned} \sigma_1 &= \sigma_a, & \sigma_2 &= \sigma_t = 0,5 \sigma_a; \\ \delta \varepsilon_1^p &= \delta \varepsilon_a^p, & \delta \varepsilon_2^p &= \delta \varepsilon_t^p = 0; \\ \sigma_i &= \frac{\sqrt{3}}{2} \sigma_a, & \delta^* \varepsilon_i^p &= \frac{2}{\sqrt{3}} \delta \varepsilon_a^p. \end{aligned}$$

Этими значениями

$$\cos \omega = \frac{\sigma_a \cdot \delta \varepsilon_a^p}{\sigma_a \cdot \delta \varepsilon_a^p} = 1. \quad (24)$$

в)  $\sigma_t/\sigma_a = 1$ , случай двухосного одинакового растяжения; ( $\mu = 1$ ).

При этом

$$\begin{aligned}\sigma_1 &= \sigma_2 = \sigma_a = \sigma_t; \\ \delta\varepsilon_1^p &= \delta\varepsilon_2^p = \delta\varepsilon_a^p = \delta\varepsilon_t^p; \\ \sigma_i &= \sigma_a, \quad \delta^*\varepsilon_i^p = 2\delta\varepsilon_a^p.\end{aligned}$$

Этими значениями

$$\cos \omega = \frac{2\sigma_a \cdot \delta\varepsilon_a^p}{2\sigma_a \cdot \delta\varepsilon_a^p} = 1. \quad (25)$$

г)  $\sigma_t/\sigma_a = 2$ , случай внутреннего гидравлического давления; ( $\mu = 0$ ).

При этом

$$\begin{aligned}\sigma_1 &= \sigma_t, & \sigma_2 &= \sigma_a; \\ \delta\varepsilon_1^p &= \delta\varepsilon_t^p, & \delta\varepsilon_2^p &= \delta\varepsilon_a^p = 0; \\ \sigma_i &= \frac{\sqrt{3}}{2}\sigma_t, & \delta^*\varepsilon_i^p &= \frac{2}{\sqrt{3}}\delta\varepsilon_t^p.\end{aligned}$$

Этими значениями

$$\cos \omega = \frac{\sigma_t \cdot \delta\varepsilon_t^p}{\sigma_t \cdot \delta\varepsilon_t^p} = 1. \quad (26)$$

В вышеизложенных случаях просто было убедиться в том, что при принятых условиях вектор девиатора напряжения и приращение вектора девиатора деформации коллинеарны, то есть соответствующие девиаторы подобны.

### Результаты экспериментов<sup>1</sup>

В дальнейшем на основании данных, полученных из экспериментов, рассматривается влияние угла между вектором девиатора напряжения и приращением вектора девиатора деформации на величину удельной работы пластической деформации.

На тонкостенных никелевых и медных трубках осуществились простые и сложные нагружения. Эксперименты, методы измерений и данные образца сообщены в работе [3]. Траектории нагружения показаны на рис. 2. Учитывая, что  $\sigma_r = \sigma_z \cong 0$ , из формул (10) получим, что

$$S_1 = \sqrt{\frac{2}{3}}(\sigma_a - 0,5\sigma_t), \quad S_2 = \frac{\sqrt{2}}{2}\sigma_t. \quad (27)$$

<sup>1</sup> Эксперименты проводились в лаборатории Кафедры Сопротивления Материалов Ленинградского Политехнического Института под руководством проф. Ю. И. Ягна на установке, описанной в работе [5].

Координаты на рис. 2. определены с помощью выражений (27). Процесс нагружения изображен совместно на рис. 2а и 2б. Нагружение осуществилось в двух ступенях. В первой ступени отдельные группы трубок нагружались по разному (рис. 2а), а потом разгружались. Границей нагружения первой ступени была для никелевых трубок  $\varepsilon_{iA}^{*P} = \sum_{OA} \delta^* \varepsilon_i^P \cong 17,2\%$ , для медных трубок  $\varepsilon_{iA}^{*P} \cong 21,4\%$ . Во второй ступени все трубки нагружались по

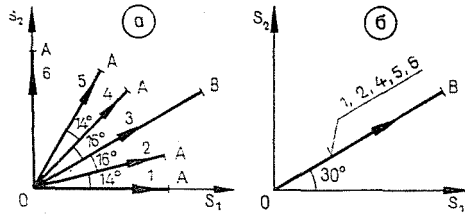


Рис. 2. Траектории нагружения: а) первая ступень нагружения, б) вторая ступень нагружения

одинаковой траектории негружения до предела несущей способности (рис. 2б). Таким образом, конец второй ступени нагружения (В) совпадает с пределом несущей способности. Никелевые трубки нагружались по программам 1, 2, 3, 4, 5, 6; медные трубки по программам 3, 6. В первой ступени нагружение простое, во второй — рассматривая весь процесс нагружения — сложное.  $\delta^* \varepsilon_i^P = 0-3\%$  — в зависимости от числа измерений и от распределения измерений во время нагружения.

Полученные из экспериментов диаграммы  $\cos \omega - \varepsilon_i^{*P}$  для никеля показаны на рис. 3а, 3б, где по горизонтальной оси откладывается  $\varepsilon_i^{*P} = \sum \delta^* \varepsilon_i^P$ . Рис. 3а относится к первой ступени, а рис. 3б ко второй ступени нагружения. На рис. 3б по оси абсцисс откладывается  $\Delta \varepsilon^{*P} = \varepsilon_i^{*P} - \varepsilon_{iA}^{*P}$ .

При никелевых трубках в первой ступени программ нагружения 1 и 2  $\cos \omega = 0,983$ ; а в программах 3, 4, 5, 6  $0,998 \leq \cos \omega \leq 0,999$ . Участок ОА программы 1 — случай одноосного растяжения, где  $\cos \omega = 0,983$  — этот результат бросается в глаза, потому что по расчетам (23)  $\cos \omega = 1$ . Причиной расхождения результатов расчетов и экспериментов может быть, например, начальная, ибо проявляющаяся при деформации анизотропия.

Во второй ступени нагружения никелевых трубок в каждой программе  $\cos \omega \cong 1$ , даже и в тех программах, в которых в первой ступени нагружения было расхождение от  $\cos \omega = 1$ .

$\cos \omega$  в течение деформации в каждой ступени — с допустимым разбросом — имело постоянное значение.

В случае медных трубок в обоих случаях нагружения  $0,999 \leq \cos \omega \leq 1,000$ .

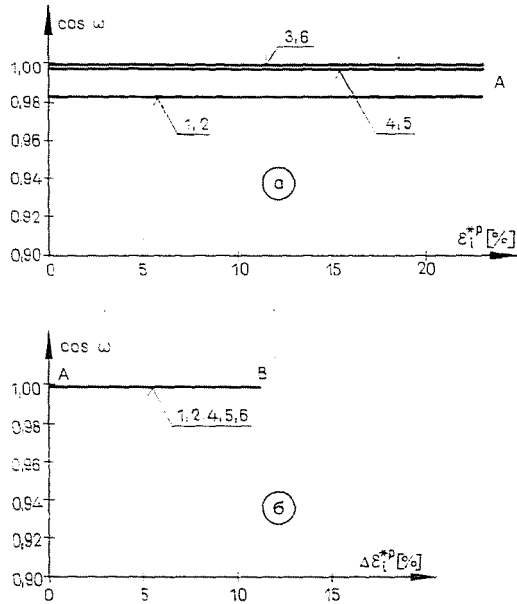


Рис. 3. Изменение угла подобия в процессах деформации никелевых трубок: а) первая ступень деформации, б) вторая ступень деформации

В наших экспериментах максимальное отклонение от  $\cos \omega = 1$  имело место в первой ступени программы 1 для никелевых трубок. Разность удельных работ пластической деформации в процентах, рассчитанных для соответствующей программы 1 и при  $\cos \omega = 1$  и при  $\cos \omega = 0,983$ :

$$\frac{\sigma_i \cdot \delta^* \varepsilon_i^P - \sigma_i \cdot \delta^* \varepsilon_i^P \cdot \cos \omega}{\sigma_i \cdot \delta^* \varepsilon_i^P \cos \omega} 100 = \frac{1,000 - 0,983}{0,983} 100 = 1,73 \% .$$

Это значит, что в рассмотренных случаях разница между удельными работами пластической деформации, определенными с учетом и без учета отклонения от подобия девиаторов, максимально 1,73%.

На основании вышеописанных можем сделать вывод, что при расчете работы пластической деформации изотропных или квази-изотропных материалов неучет отклонения от подобия девиатора напряжения и приращения девиатора деформации оказывает пренебрежимо малую ошибку.

Это заключение относится только к пластической части работы деформации. Ибо при исследовании суммы упругой и пластической деформаций угол между вектором напряжения и приращением девиатора вектора деформации при сложных нагружениях, особенно для следа запаздывания может быть и значительным [6].



### Резюме

В настоящей работе на основании экспериментов рассматривается влияние отклонения от подобия девиатора напряжения и приращения девиатора деформации на удельную работу пластической деформации.

Эксперименты проводились на тонкостенных никелевых и медных трубках. Трубки нагружались осевой растягивающей силой и внутренним гидравлическим давлением. Рассматривались и простые и сложные нагружения.

По экспериментам удельная работа пластической деформации определялось двумя способами. В одном случае при расчете принималось то предположение, что девиатор напряжения и приращение девиатора пластической деформации подобны, а в другом случае учитывалось отклонение от подобия девиаторов. Разница между удельными работами пластической деформации, определенными двумя способами — в рассмотренных случаях — не достигает 2%-ов.

### Литература

1. Качанов, Л. М.: Основы теории пластичности. Изд. Наука, Москва, 1969.
2. Ильющин, А. А.: Пластичность. Изд. АН. СССР, Москва, 1963.
3. KASZAR, K.: *Periodica Polytechnica* **14**, 91—105 (1970).
4. NÁDAI, A.: *Theory of Flow and Fracture of Solids*. Mc Graw—Hill, 1950.
5. Ягн, Ю. И.—Шишмарев, О. А.: *Заводская лаборатория* **10**, 1243—1245 (1958).
6. Ленский, В. С.: *Изв. АН. СССР, ОТН*. **11**, 15—24, (1958).

Kálmán KASZAR, Budapest XI., Műegyetem rkp. 3. Венгрия